

초고주파 집적회로를 위한 깍지낀 복수 결합 마이크로스트립 광대역 필터/DC 블럭의 설계

(Design of Interdigitated Multiple Coupled Microstrip
Filter/DC Blocks for Microwave Integrated Circuits)

陳 年 鋼*

(Youn Kang Chin)

要 約

대칭 및 비대칭 깍지낀 복수결합 마이크로 스트립선을 사용한 광대역 DC블럭/필터의 해석과 설계방법은 소개하였다. 설계 방정식은 다른 마이크로스트립 구조의 경우와 같이 TEN모델을 기초로 유도 되었다. 실험값이 이론값과 잘 일치됨을 보여 주었다.

Abstract

Analysis and design procedures for both symmetrical and non-symmetrical open-circuited interdigital multiple coupled microstrip line structures for applications as wide-band DC blocks/filters have been presented. The design equations, as is the case of other microstrip structures, are based on a simplified TEM model. The experimental results are in good agreement with the theoretically predicted ones.

I. 서 론

DC 블럭에 관한 연구는 2 선 결합 마이크로스트립 구조(coupled two-line microstrip structures)에 국한되어 왔다.

MIC용으로 구성된 대칭 및 비대칭 2 선 결합 마이크로스트립 구조^[1]는 필터나 임피던스 정합 회로등에 응용되고 있다.

그림 1과 같은 2-port prototype^[2]은 입력과 출력간의 DC흐름을 막는 광대역 필터 또는 DC블럭(block)이다. 이러한 필터는 마이크로파와 같은 높은 주파수에서 집중소자인 캐퍼시터의 주파수특성 보다 더 우수

하기 때문에 DC 블럭용으로 사용되고 있다.^[3,4,5]

LaCombe와 Cohen^[3]은 even과 odd-mode의 개념을 토대로 한 근사적 등가 회로를 도입하여 DC블럭을 해석하였고 Rizzoli^[4]는 2 선 2-port DC 블럭의 평탄 주파수 특성과 단일 ripple을 갖는 주파수 특성(또는 제1차 Chebyshev 주파수 특성)에 관한 조건을 유도하여 설계공식을 구하였다.

DC 블럭의 주파수대역폭은 2 선간의 간격이 좁을수록 넓어지기 때문에 기존의 MIC 기술에 의해서 간격을 한없이 좁히는 것은 실용적이 못되므로 2 선 이상을 사용하여 더 넓은 광대역 주파수대역을 얻는 것 이 편리하고 바람직하다.

본 논문에서는 복수선의 마이크로스트립선을 깍지낀 형태로 구성한 대칭 및 비대칭 구조의 DC블럭을 제안하였다. 이 구조는 기존 2 선 결합선로를 이용한 경우에 비해 더 넓은 광대역특성을 얻을 수 있으며 서로 다른 임피던스를 정합시킬 수 있는 transformer의 유리한 점을 갖고 있다. 여기에서 해석과 설계식은

*正會員, 檀國大學校 電子工學科
(Dept. of Elec. Eng., Dankuk Univ.)

接受日字 : 1987年 5月 1日

(※ 본 논문은 1986년도 한국과학재단의 연구비에
의하여 행하여진 논문입니다.)

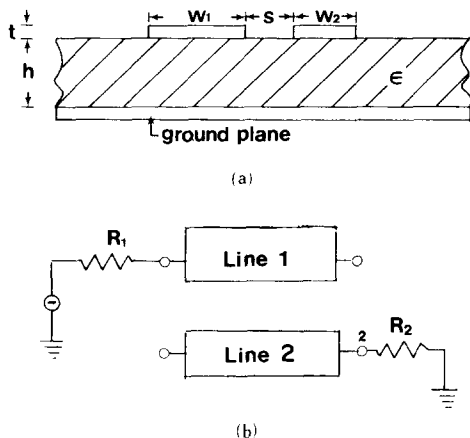


그림 1. (a) 비대칭 2 선 마이크로스트립 구조의 단면도.

(b) 결합선 2-port의 약도

Fig. 1. (a) Cross Sectional View of the non-symmetrical two-line Microstrip Structure

(b) A Schematic Diagram of the Coupled Line two-port.

2-port 회로망의 산란정수(scattering parameter)에 관한 식을 토대로 하여 유도되었다.

II. 기초이론

비대칭 2-port 구조의 입력과 출력측에 그림 1 처럼 R_1 과 R_2 를 각각 연결한 경우의 산란정수(scattering parameters)는 다음과 같이 주어진다.

$$S_{11} = \frac{(Z_{11} - R_1)(Z_{22} + R_2) - Z_{12}^2}{(Z_{11} + R_1)(Z_{22} + R_2) - Z_{12}^2} \quad (1a)$$

$$S_{12} = S_{21} = \frac{2Z_{12}\sqrt{R_1R_2}}{(Z_{11} + R_1)(Z_{22} + R_2) - Z_{12}^2} \quad (1b)$$

$$S_{22} = \frac{(Z_{11} + R_1)(Z_{22} - R_2) - Z_{12}^2}{(Z_{11} + R_1)(Z_{22} + R_2) - Z_{12}^2} \quad (1c)$$

여기에서 Z_{11} , Z_{22} 및 Z_{12} 는 2-port 임피던스행렬의 정수들이다.^[1]

S_{11} 과 S_{22} 는 각각 port1과 port2에서의 반사계수이며 다음과 같이 정의된다.

$$S_{11} = F_1 = \frac{R_1 - Z_{01}}{R_1 + Z_{01}} \quad (2a)$$

$$S_{22} = F_2 = \frac{R_2 - Z_{02}}{R_2 + Z_{02}} \quad (2b)$$

여기에서 Z_{01} 과 Z_{02} 는 각각 port1과 2에서의 결합선의 특성임피던스이다.

비대칭 2-port 구조에 대한 정합조건은 $S_{11} = S_{22} = 0$ 에서 구할 수 있으며 그 결과는 다음과 같다.

$$R_1 = \sqrt{Z_{11}/Z_{22}} (Z_{11}Z_{22} - Z_{12}^2) \quad (3a)$$

$$R_2 = Z_{22}/Z_{11} \cdot R_1 \quad (3b)$$

평탄주파수특성(flat frequency response)는 중심주파수($\theta = \pi/2$)에서 $F_1 = F_2 = 0$ 인 조건에서 구할 수 있으며 그때의 부하 R_1 과 R_2 는 $R_1 = Z_{01}$ 과 $R_2 = Z_{02}$ 이다. 또 제1차 Chebyshev(single ripple) 주파수특성은 $R_i < Z_{0i}$ ($i = 1, 2$)인 조건에서 얻을 수 있으며 S_{11} 에 관한 결과식은 다음과 같다.

$$S_{11} \mid_{\theta=\pi/2} = \frac{\frac{\pi}{2} - R_1^2}{Z_{01}^2 + R_1^2} \Big|_{\theta=\pi/2} > 0 \quad (4)$$

$$\text{여기에서 } Z_{01} = Z_{11}^2 - Z_{12}^2$$

비동질성 매질에서의 비대칭 2-port 결합선로 구조에 대한 Z_{11} , Z_{22} 및 Z_{12} 에 관한 근사식으로 Cristal의^[6] 비동질성 매질에서의 관계식을 사용하면

$$Z_{11} = -j \frac{1}{2} (Z_e^a + Z_o^a) \cot \theta$$

$$Z_{12} = -j \frac{1}{2} (Z_e^a - Z_o^a) \csc \theta$$

$$Z_{22} = -j \frac{1}{2} (Z_e^b + Z_o^b) \cot \theta$$

$$Z_e^a - Z_o^a = Z_e^b - Z_o^b$$

여기에서 $\theta = \beta l$ 이며 Z_e^a , Z_o^a , Z_e^b , Z_o^b 는 각각 선로 a와 b의 even-과 odd-mode의 특성 임피던스이다.

위의 임피던스 정수를 식(1a)에 대입하면 S_{11} 은 다음과 같은 결과식을 얻는다.

$$S_{11} = \frac{k - j \frac{1}{2} (A - B) \cot \theta}{k + 2R_1R_2 - j \frac{1}{2} (A + B) \cot \theta} \quad (5)$$

여기에서

$$Z_e^a - Z_o^a = Z_e^b - Z_o^b$$

$$k = \frac{1}{4} (Z_e^a - Z_o^a) (Z_e^b - Z_o^b) - \frac{1}{2} (Z_o^a Z_e^b + Z_e^a Z_o^b)$$

$$\cot^2 \theta - R_1 R_2$$

$$= \frac{1}{4} (Z_e^a - Z_o^a)^2 - \frac{1}{2} (Z_o^a Z_e^b + Z_e^a Z_o^b) \cot^2 \theta - R_1 R_2$$

$$A = R_2 (Z_e^a + Z_o^a)$$

$$B = R_1 (Z_e^b + Z_o^b)$$

대칭구조인 경우 위식은 다음과 같이 된다.

$$S_{11} = \frac{-Z_e Z_o \cot^2 \theta + \frac{(Z_e - Z_o)^2}{4} - R^2}{[-Z_e Z_o \cot^2 \theta + \frac{(Z_e - Z_o)^2}{4} + R^2] - j R (Z_e + Z_o) \cot \theta} \quad (6)$$

여기에서 $Z_e = Z_e^a = Z_e^b$, $Z_o = Z_o^a = Z_o^b$ 및 $R_1 = R_2$ 이다.

식(5)로 부터 중심주파수($\theta = \pi/2$)에서의 평탄주파수특성에 대한 부하저항 R_1 과 R_2 의 값을 구하면 그 결과는 다음과 같다.

$$R_1 = \frac{1}{2} (Z_e^a - Z_o^a) \sqrt{\frac{Z_e^a + Z_o^a}{Z_e^b + Z_o^b}} \quad (7a)$$

$$R_2 = \frac{1}{2} (Z_e^a - Z_o^a) \sqrt{\frac{Z_e^b + Z_o^b}{Z_e^a + Z_o^a}} \quad (7b)$$

또 단일 ripple 주파수 특성에 대한 R_1 과 R_2 의 조건은

$$R_1 R_2 < \frac{1}{4} (Z_e^a - Z_o^a) (Z_e^b - Z_o^b) = \frac{1}{4} (Z_e^a - Z_o^a)^2$$

이며 이때의 최대 ripple은

$$\begin{aligned} S_{11} \Big|_{\text{at } \theta=\frac{\pi}{2}} &= \frac{(Z_e^a - Z_o^a) (Z_e^b - Z_o^b) - 4R_1 R_2}{(Z_e^a - Z_o^a) (Z_e^b - Z_o^b) + 4R_1 R_2} \quad (8) \\ &= \frac{(Z_e^a - Z_o^a)^2 - 4R_1 R_2}{(Z_e^a - Z_o^a)^2 + 4R_1 R_2} \end{aligned}$$

이다.

대칭인 경우에는 식(7)과 (8)은 다음과 같이 된다.

$$R = \frac{(Z_e - Z_o)}{2} \quad (9)$$

$$S_{11} \Big|_{\text{at } \theta=\frac{\pi}{2}} = \frac{(Z_e - Z_o)^2 - 4R^2}{(Z_e - Z_o)^2 + 4R^2} \quad (10)$$

여기에서

$$R = R_1 = R_2 \text{ 와 } R < \frac{(Z_e - Z_o)}{2}$$

III. 설계식

주어진 R_1 과 R_2 및 대역폭에 대한 평탄주파수 특성을 갖는 MIC용 DC블럭/필터의 Z_e^i 와 Z_o^i ($i = a, b$)는 식 (5)로부터 구할 수 있으며 단일 ripple을 갖는 제 1 Chebyshev 주파수 특성은 식(8)로부터 구할 수 있다. 먼저 평탄주파수 특성인 경우를 생각하기로 한다. 정규화된 차단 각 주파수 θ_c (여기에서 $S_{11} = P_c$, 예를 들면 최대 SWR=1.4인 경우 $\Gamma_c = 1/6$)는 식(5)로부터 구하여 그 설계식은 다음과 같다.

$$\theta_c = \tan^{-1} \left\{ \left| \frac{-1 + \sqrt{1 + X^2 \left(\frac{1}{\Gamma_c^2} - 1 \right)}}{2} \right|^{\frac{1}{2}} \right\}$$

또는

$$\theta_c = \tan^{-1} \left\{ x \left[\frac{(1/\Gamma_c^2) - 1}{2(1 + \sqrt{1 + X^2 \left(\frac{1}{\Gamma_c^2} - 1 \right)})} \right]^{\frac{1}{2}} \right\} \quad (11)$$

여기에서 특성파라미터 x 는

$$\begin{aligned} x &= \frac{2(Z_e^a Z_o^b + Z_e^b Z_o^a)}{(Z_e^a - Z_o^a)(Z_e^b - Z_o^b)} = \frac{2(Y_e^a Y_o^b + Y_o^a Y_e^b)}{(Y_o^a - Y_e^a)(Y_o^b - Y_e^b)} \\ &= \frac{2(Z_e^a Z_o^b + Z_e^b Z_o^a)}{(Z_e^a - Z_o^a)^2} \end{aligned} \quad (12)$$

이다.

대칭인 경우

$$x = \frac{4Z_e Z_o}{(Z_e - Z_o)^2} \quad (13)$$

단일 ripple의 주파수 특성을 갖는 2-port 구조에 관

한 설계식을 구하기로 한다. 식(10)에서 $|S_{11}|_{\theta=\frac{\pi}{2}} = \Gamma_c$ 라 놓고 이를 식(6)에 대입하면

$$\theta_c = \tan^{-1} \left\{ \left[\frac{-(2+qx) + 2\sqrt{1+qx + \frac{qs}{s-1}x^2}}{4 - \left(1 - \frac{1}{s}\right)q} \right]^{\frac{1}{2}} \right\} \quad (14)$$

여기에서

$$s = \frac{1 + \Gamma_c}{1 - \Gamma_c},$$

$$q = s \left(1 - \frac{1}{s} \right) \left(\frac{1}{\Gamma_c^2} - 1 \right)$$

식(14)는 $\Gamma_c = 0$ 라 놓으면 평탄주파수 설계식(11)이 된다. x 가 적을 수록 비 대역폭($=2(1-2\theta_c/\pi)$)이 커진다.

Chebyshev 주파수 특성을 갖는 비대칭 DC블럭의 설계식도 위에서 유도한 방법으로 구할 수 있다.

특성파라미터 x 를 구하는 경우를 설명하면 다음과 같다.

그림 2처럼 n 선 구조인 경우, TEM mode라 가정하면 저자의 논문[7]으로 부터 n 이 짝수인 경우

$$\frac{1}{Z_e} = Y_e \approx v_p [C_{11} - C_{12} + (\frac{n}{2} - 1) (C_{22} - 2C_{12})] \quad (15a)$$

$$\frac{1}{Z_o} = Y_o \approx v_p [C_{11} + C_{12} + (\frac{n}{2} - 1) (C_{22} + 2C_{12})] \quad (15b)$$

n 이 홀수인 경우

$$\frac{1}{Z_e^{(n)}} = Y_e^{(n)} \approx v_p [2(C_{11} - C_{12}) + (\frac{n-3}{2})(C_{22} - C_{12})] \quad (16a)$$

$$\frac{1}{Z_o^{(n)}} = Y_o^{(n)} \approx v_p [2(C_{11} + C_{12}) + (\frac{n-3}{2})(C_{22} + 2C_{12})] \quad (16b)$$

$$\frac{1}{Z_e^{(B)}} = Y_e^{(B)} \approx v_p [(\frac{n-1}{2})(C_{22} - 2C_{12})] \quad (16c)$$

$$\frac{1}{Z_o^{(B)}} = Y_o^{(B)} \approx v_p [(\frac{n-1}{2})(C_{22} + 2C_{12})] \quad (16d)$$

여기에서 v_p 는 위상속도, C_{nn} 는 선 1과 n 의 자기캐퍼시턴스, C_{22} 는 선 2로부터 $n-1$ 까지의 자기캐퍼시턴스, C_{12} 는 인접선간의 상호캐퍼시턴스이다. 모든 선의 폭과 간격은 같다고 가정하고 인접하지 않은 선(nonadjacent lines) 간의 결합은 무시하였다.

주어진 n 선 구조에 대한 x 는 식(15)과 (16) 및 ou⁽ⁿ⁾의 C_{11} 과 C_{22} 간의 관계식을 사용하여 2선의 even-mode와 odd-mode의 임피던스⁽ⁿ⁾로 표현될 수 있으며 그 결과는 다음과 같다.

$$x = \frac{\frac{n}{2}(Z_e + Z_o) + (\frac{n}{2} - 1) \frac{(Z_e - Z_o)^2}{(Z_e + Z_o)} - (n-1)^2 (Z_e - Z_o)^2}{(n-1)^2 (Z_e - Z_o)^2} \quad (17)$$

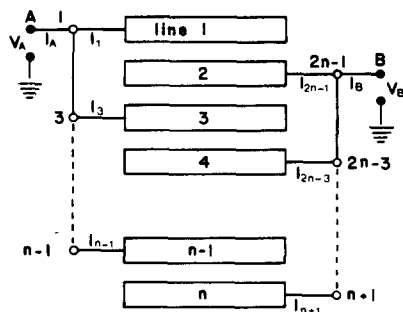


그림 2. 깍지낀 복수 결합선 2-port의 약도
Fig. 2. A Schematic Diagram of an Open-Circuited Interdigital Multiple Coupled Line two-port.

예를 들어 $Z_e = 130\Omega$ 와 $Z_o = 24\Omega$ 이고 67.5% ($\Gamma_c = 1/6$)의 비 대역폭을 갖는 LaCombe와 Cohen^[3]의 2선 마이크로스트립선 구조의 DC블럭을 생각해보자. 이를 4선 구조로 만들면 비 대역폭이 104.4%로 증가하고 6선 구조로 만들면 118%로 증가한다. 이를 살펴보면 4선 이상의 복수구조는 구조의 복잡성에 비하여 크게 도움이 되지 않음을 알 수 있다.

IV. 설 계 예

그림 3과 같이 $\epsilon_r = 10$ 의 유전체기판 위에 100%의 비대역폭을 갖는 평탄주파수 특성의 대칭 3선 마이크로스트립 2-port DC블럭을 설계하는 예를 설명하고자 한다. 이때의 $R_1 = R_2 = R = 50\Omega$ 라 한다. 여기에서 $\Gamma_c \approx 0.33$ (-0.5dB 에 해당함)이다.

식(9)과 (11)로부터 $Z_e = Z_{b2} = 122.86\Omega$ 와 $Z_o = Z_{c2} = 20.9\Omega$ 를 얻을 수 있으며 그 물리적 치수는 저자의 논문^[10]으로부터 얻을 수 있으며 그 결과는 다음과 같다.

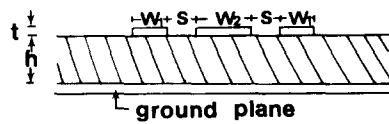
$$w_1/h = 2s/h = w_2/4h = 0.78$$

여기에서 h 는 유전체의 높이이다.

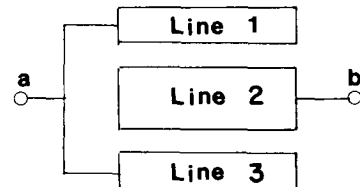
위에서 얻은 결과를 식(1)에 대입하여 평탄주파수특성을 구하면 그림 4와 같다. 또 단일 ripple을 갖는 제 1 Chebyshev의 주파수 특성에 대한 설계값은 식(10)과 (11)로부터 얻을 수 있으며 비대칭인 경우는 식(7), (8) 및 (11)로부터 구할 수 있다.

V. 실험 결과

두께 $h = 1.25\text{mm}$ 인 RT Duroid 유전체 ($\epsilon_r = 10.5$) 위에 그림 5와 같이 $w_1 = w_3 = 0.0375\text{mm}$, $w_2 = 0.375\text{mm}$, $s = 0.0875\text{mm}$ 인 깍지낀 3선 마이크로스트립 2-port 비대칭 DC블록을 설계했다.



(a)



(b)

그림 3. 깍지낀 3선 마이크로스트립선 2-port 구조

- (a) 단면도
 - (b) DC 블럭의 약도
- Fig. 3. The Three Microstrip Lines 2-port Structure
- (a) Cross Section View
 - (b) DC Block Configuration

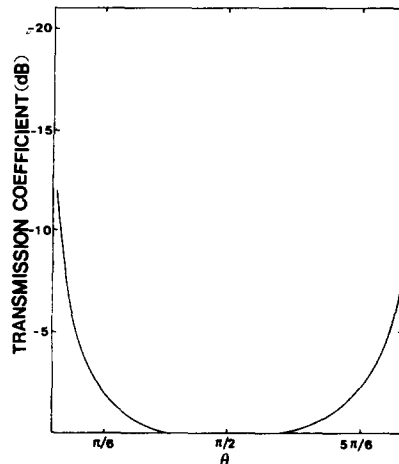


그림 4. $w_1/h = w_2/4h = 2s/h = 0.78$ 의 깍지낀 3선 2-port 대칭 DC 블럭 ($\epsilon_r = 10$)의 전송계수 $|S_{12}|$ 의 주파수 특성

Fig. 4. Transmission Coefficient $|S_{12}|$ vs. Normalized Frequency for Open Circuited Interdigital three-line Coupled Symmetrical (where $w_1/h = w_2/4h = 2s/h = 0.78$) DC blocks with $\epsilon_r = 10$.

이 경우의 정합 부하임피던스는 식(3)으로부터 $R_1 = 50\Omega$ 와 $R_2 = 44\Omega$ 이다. 그러나 실험의 편의를 위하여 실제로 연결한 부하는 모두 50Ω 이다. 그 이론적 결과와



그림 5. 높이 $h=1.25\text{mm}$ 인 유전체 ($\epsilon_r=10.5$) 위에 설계된 깍지낀 3 선 마이크로스트립선 DC블럭의 구성치수

Fig. 5. Measured Geometrical Layout of an Interdigitated Three-Line DC Blocks with $\epsilon_r=10.5$ where the Substrate Thickness $h=1.25\text{mm}$.

실험 결과는 그림 6과 같다.

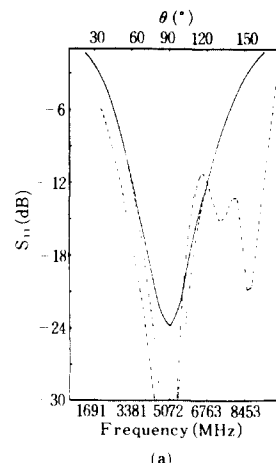
이론과 실험이 잘 일치됨을 알 수 있다. 정합된 경우와 비교하기 위하여 그 주파수특성을 참고로 도시하였다.

VI. 결 론

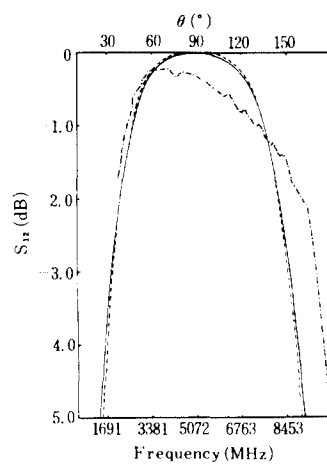
MIC용 DC블럭이나 필터의 응용으로 사용될 수 있는 대칭 및 비대칭의 깍지낀 복수 마이크로스트립선 구조를 소개하였다. 설계방정식은 다른 경우와 마찬가지로 단순한 TEM모델을 기초로 해서 유도하였다. 특정한 대역폭을 갖는 평탄주파수특성(또는 Butterworth response)이나 단일 ripple의 주파수특성(또는 제1 Chebyshev)에 대한 설계예를 제시하고 평탄주파수특성에 대하여는 실험적으로 증명하였다. 이론과 실험의 결과가 잘 일치함을 알 수 있었다. 본 논문의 결과들은 MMIC 응용에 크게 도움이 되리라 믿는다.

参考文献

- [1] V. K. Tripathi, "Asymmetric coupled transmission lines in an inhomogeneous medium," *IEEE Trans., MTT-23*, pp. 734-739, 1975.
- [2] V. K. Tripathi, "Equivalent circuits and characteristics of inhomogeneous nonsymmetrical coupled-line two-port circuits," *IEEE Trans., MTT-25*, pp. 140-142, 1977.
- [3] D. Lacombe and J. Choén, "Octave-band microstrip DC blocks," *ibid, MTT-20*, pp. 555-557, 1972.
- [4] V. Rizzoli, "Analysis and design of microstrip DC blocks," *Microwave Jour.*, 20, pp 109-110, 1977.
- [5] D. Kajfez, et al., "Asymmetric microstrip DC blocks with rippled response," *IEEE MTT-S Int'l. Microwave Symp. Digest*, pp. 301-303, 1981.



(a)



(b)

그림 6. (a) 깍지낀 3 선 마이크로스트립선 DC블럭의 전송계수 $|S_{12}|$ 의 주파수특성도

(b) 그림 6 (a)와 동일한 구조에 대한 반사계수 $|S_{11}|$ 주파수 특성도
 $-- R_1=R_2=50\Omega$ 의 단자에 대한 측정치
 $— R_1=R_2=50\Omega$ 의 단자에 대한 이론치
 $.... R_1=50\Omega$ 과 $R_2=44\Omega$ 의 단자에 대한 이론치

Fig. 6. (a) Transmission Coefficients $|S_{12}|$ vs. Frequency for an Open-Circuited Interdigital Three-Line Coupled Non-Symmetrical DC Blocks.
(b) Reflection Coefficients $|S_{11}|$ vs. Frequency for the Same DC Blocks as that of Figure 6(a).
 $--$ Measured Response with Terminations $R_1=R_2=50\Omega$
 $—$ Theoretical Response with Terminations $R_1=R_2=50\Omega$
 $....$ Theoretical Response with Perfect Matching Terminations $R_1=50\Omega$ and $R_2=44\Omega$.

- [6] E. G. Cristal, "Coupled-transmission-line directional couplers with coupled lines of unequal characteristic impedance," *IEEE Trans. MTT-14*, pp. 337-346, July 1966.
 - [7] 진년강, "The analysis of interdigital multiple coupled microstrip line DC blocks," *한국통신학회지*, 1986, 제11권, 제 2 호, pp. 146-151.
 - [8] W.P. Ou, "Design equations for interdigitated directional couples," *IEEE Trans.*, *MTT-23*, pp. 253-255, 1975.
 - [9] A. Presser, "Interdigitated microstrip coupler design," *ibid*, *MTT-16*, pp. 801-805, 9178.
 - [10] 진년강, "비균질 매질내에서 대칭 및 비대칭구조를 갖는 3 선 4 포트 스트립선 결합회로의 설계," *한국통신학회지*, 1985, 제10권, 제 6 호, pp. 287-295.
-